

## 第一节 微分方程模型 – 微分方程数值解

笔记本：我的第一个笔记本

创建时间：2017/5/9 15:38

URL：[https://iclass.bupt.edu.cn/webapps/blackboard/content/listContent.jsp?course\\_id=\\_11052\\_1&content\\_id=\\_52806\\_1](https://iclass.bupt.edu.cn/webapps/blackboard/content/listContent.jsp?course_id=_11052_1&content_id=_52806_1)

### 第一节 微分方程模型



学习指导：A 课程导论 第一节



内容介绍：

本小节主要介绍一些微分方程模型。

给出了本课程要讨论的常微分方程系统，椭圆型偏微分方程系统，抛物型偏微分方程系统和双曲型偏微分方程系统的例子。

学习方法：这一节内容以自学为主，并完成相应的课后作业。课堂上我们将结合微分方程的定义和分类进行简单介绍。



讲义：A 课程导论 第一节

## 微分方程的引例

### 1.1.1 目标跟踪问题

设位于坐标原点的甲舰向位于  $x$  轴上点  $A(1, 0)$  处的乙舰发射导弹，导弹头始终对准乙舰。如果乙舰以最大的速度  $v_0$  (是常数) 沿平行于  $y$  轴的直线行驶，导弹的速度是  $5v_0$ ，求出导弹运行的曲线方程，并指出乙舰行驶多远时，导弹将它击中。

解

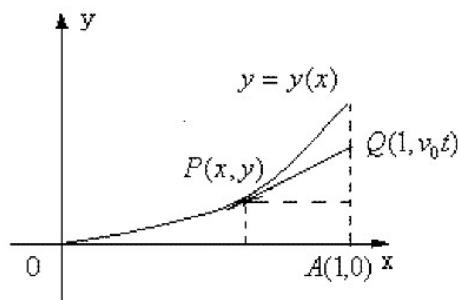


图 1.1.1

假设导弹在  $t$  时刻的位置为  $P(x(t), y(t))$ ，乙舰位于  $Q(1, v_0 t)$ 。由于导弹头始终对准乙舰，故此时直线  $PQ$  就是导弹的轨迹曲线弧  $OP$  在点  $P$  处的切线，即有

$$y' = \frac{v_0 t - y}{1 - x} \quad \text{即} \quad v_0 t = (1 - x) y' + y \quad (1.1.1)$$

又根据题意，弧曲线  $OP$  的长度为  $|AQ|$  的 5 倍，即

$$\int_0^x \sqrt{1 + y'^2} dx = 5v_0 t$$

$$y'' = \frac{1}{5} \sqrt{1+y'^2} \quad (1.1.2)$$

由(1.1.1)和(1.1.2)，消去  $t$  整理得到模型：

$$(1-x)y'' = \frac{1}{5} \sqrt{1+y'^2}$$

由于甲舰是位于坐标原点，所以初值条件为：

$$y(0)=0; \quad y'(0)=0$$

由此可得，导弹的轨迹曲线满足如下的微分初值问题：

$$\begin{cases} (1-x)y'' = \frac{1}{5} \sqrt{1+y'^2} \\ y(0)=0 \\ y'(0)=0 \end{cases} \quad (1.1.3)$$

问题(1.1.3) 中的方程含有未知函数的二阶导数，且自变量只有一个，为二阶常微分方程。由积分的方法可以求出该方程的通解，通解中由两个待定常数，而给定的两个初始条件又称为定解条件，由定解条件可以确定待定常数，从而得到曲线方程。这里我们略去求解过程，解析求解得到的曲线方程为：

$$y = -\frac{5}{8}(1-x)^{\frac{4}{5}} + \frac{5}{12}(1-x)^{\frac{6}{5}} + \frac{5}{24} \quad (1.1.4)$$

已知乙舰是以最大的速度沿平行于  $y$  轴的直线行驶，要回答导弹击中乙舰时它行驶多远的问题，只要求解出(1.1.4)所表示的曲线与直线  $x=1$  的交点即可。

将  $x=1$  代入式(1.1.4)，可求出

$$y(1) = 5/24$$

即乙舰行使到  $5/24 \approx 0.2083$  时被集中，此时，乙舰逃跑的时间为  $5/(24 v_0)$ 。

### 1.1.2 平面波的反射问题

设一均匀平面波入射到一金属衬底的非均匀介质片上，介质片的厚度为  $L$ ，相对介电常数和磁导率分别为  $\epsilon_r$  和  $\mu_r$ 。这两个介质参数随着  $x$  变化。周围媒质为自由空间，即  $\epsilon_r = \mu_r = 1$ 。试从 Maxwell 方程组出发，导出该金属衬底介质片对平面波反射的电磁场满足的方程。

解：由于场和有关的媒质不随  $z$  坐标变化，在没有外加电流和自由电荷的情况下，由时谐场的 Maxwell 方程组：

$$\begin{cases} \nabla \times E + i\omega B = 0 \\ \nabla \times H - i\omega D = 0 \end{cases}$$

以及本构关系

$$\begin{cases} D = \epsilon_0 \epsilon_r E \\ B = \mu_0 \mu_r H \end{cases}$$

可以推导出电场和磁场的  $z$  分量满足如下的 Helmholtz 方程

$$\left[ \frac{\partial}{\partial x} \left( \frac{1}{\mu_r} \frac{\partial}{\partial x} \right) + \frac{\partial}{\partial y} \left( \frac{1}{\mu_r} \frac{\partial}{\partial y} \right) + k_0^2 \epsilon_r \right] E_z = 0$$

以及

$$\left[ \frac{\partial}{\partial x} \left( \frac{1}{\epsilon_r} \frac{\partial}{\partial x} \right) + \frac{\partial}{\partial y} \left( \frac{1}{\epsilon_r} \frac{\partial}{\partial y} \right) + k_0^2 \mu_r \right] H_z = 0$$

$$\left[ \frac{\partial}{\partial x} \left( \frac{1}{\epsilon_r} \frac{\partial}{\partial x} \right) + \frac{\partial}{\partial y} \left( \frac{1}{\epsilon_r} \frac{\partial}{\partial y} \right) + k_0^2 \mu_r \right] H_z = 0$$

这里， $\mathbf{E}$  为电场强度， $\mathbf{D}$  为电通量密度， $\mathbf{H}$  为磁场强度， $\mathbf{B}$  为磁通量密度。电常数  $\epsilon_0$  和磁常数  $\mu_0$  分别为自由空间的介电常数和磁导率。

考虑如题描述的金属衬底介质片对平面波反射问题，众所周知，任意平面波均能分解成只有  $z$  方向电场  $\mathbf{E}_z$  的极化平面波和只有  $z$  方向磁场的  $\mathbf{H}_z$  的极化平面波。所以，只要考虑这两种情形就够了。

对于  $\mathbf{E}_z$  极化情形，入射波能够表示成为

$$E_z^{inc}(x, y) = E_0 e^{i(k_0 x \cos \theta - k_0 y \sin \theta)}$$

上式中， $E_0$  是表示入射场大小的常数， $\theta$  是入射角（如图 1.1.2 所示）。

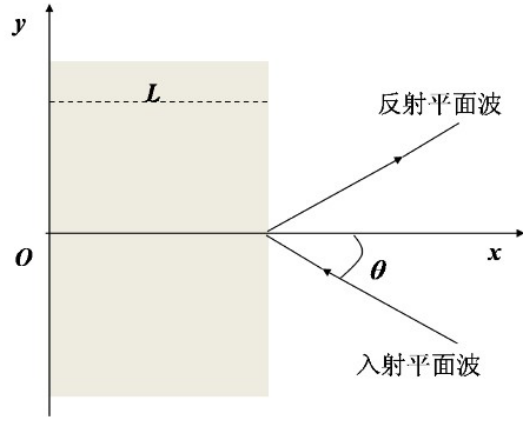


图 1.1.2

在金属衬底介质片对平面波反射问题中，为了满足垂直于  $x$  轴界面处的场连续性方程，总场必须有一共同因子  $e^{-ik_0 y \sin \theta}$ 。因此，支配电场  $E_z$  的标量 Helmholtz 方程退化为

$$\frac{\partial}{\partial x} \left( \frac{1}{\mu_r} \frac{\partial E_z}{\partial x} \right) + k_0^2 (\epsilon_r - \frac{1}{\mu_r} \sin^2 \theta) E_z = 0 \quad (1.1.5)$$

在边界  $x=0$  处， $E_z$  满足

$$E_z|_{x=0} = 0 \quad (1.1.6)$$

在边界  $x=L$  处，由于

$$E_z|_{x=L-0} = E_z|_{x=L+0}, \quad \frac{1}{\mu_r} \frac{dE_z}{dx} \bigg|_{x=L-0} = \frac{1}{\mu_r} \frac{dE_z}{dx} \bigg|_{x=L+0}$$

可得在介质片表面内侧成立如下的边界条件

$$\left[ \frac{1}{\mu_r} \frac{dE_z}{dx} + ik_0 \cos \theta E_z(x) \right]_{x=L-0} = 2ik_0 \cos \theta E_0 e^{ik_0 L \cos \theta} \quad (1.1.7)$$

综上所述，对于  $\mathbf{E}_z$  极化情形，电场  $E_z$  满足由(1.1.5)、(1.1.6)和(1.1.7)确定的模型问题：

$$\begin{cases} \frac{\partial}{\partial x} \left( \frac{1}{\mu_r} \frac{\partial E_z}{\partial x} \right) + k_0^2 \left( \epsilon_r - \frac{1}{\mu_r} \sin^2 \theta \right) E_z = 0, \\ E_z \Big|_{x=0} = 0, \\ \left[ \frac{1}{\mu_r} \frac{dE_z}{dx} + ik_0 \cos \theta E_z(x) \right]_{x=L-0} = 2ik_0 \cos \theta E_0 e^{ik_0 L \cos \theta} \end{cases} \quad (1.1.8)$$

问题(1.1.8)为一维的两点边值问题。

同样，对于  $H_z$  极化情形，入射波能够表示成为

$$H_z^{inc}(x, y) = H_0 e^{i(k_0 x \cos \theta - k_0 y \sin \theta)}$$

的形式，由此总磁场满足如下的 Helmholtz 方程

$$\frac{\partial}{\partial x} \left( \frac{1}{\epsilon_r} \frac{\partial H_z}{\partial x} \right) + k_0^2 \left( \mu_r - \frac{1}{\epsilon_r} \sin^2 \theta \right) H_z = 0 \quad (1.1.9)$$

以及边界条件

$$\frac{dH_z}{dx} \Big|_{x=0} = 0 \quad (1.1.10)$$

$$\left[ \frac{1}{\epsilon_r} \frac{dH_z}{dx} + ik_0 \cos \theta H_z(x) \right]_{x=L-0} = 2ik_0 \cos \theta H_0 e^{ik_0 L \cos \theta} \quad (1.1.11)$$

磁场  $H_z$  满足由(1.1.9)、(1.1.10)和(1.1.11)确定的模型问题，该问题为一维的两点边值问题。

### 1.1.3 两端固定弦的振动问题

给定一根两端固定的拉紧的均匀柔软的弦，其长为  $l$ ，其线密度为  $\rho$ ，在垂直于  $x$  轴的外力（设  $f(x, t)$  是时刻  $t$  在  $x$  处的单位长度上的力）作用下在平衡位置作微小的横振动，如图 1.1.3 选择坐标系，用  $u(x, t)$  表示弦上各点在时刻  $t$  沿垂直于  $x$  方向的位移，求出  $u(x, t)$  应满足的方程。

解：弦上各点在时刻  $t$  沿垂直于  $x$  方向的位移函数  $u(x, t)$  所满足的方程可基于能量守恒定律用微元法求出。

在弦上任取一弦段  $(x, x + \Delta x)$ ，其弧长约为  $\Delta x$ 。弦在  $x$  点处的张力记为  $T(x)$ ，其方向沿着弦在  $x$  点处的切线方向，在  $x + \Delta x$  点处的张力记为  $T(x + \Delta x)$ ，其方向沿着弦在  $x + \Delta x$  点处的切线方向。 $\alpha_1$  表示  $T(x)$  与水平线的夹角， $\alpha_2$  表示  $T(x + \Delta x)$  与水平线的夹角。

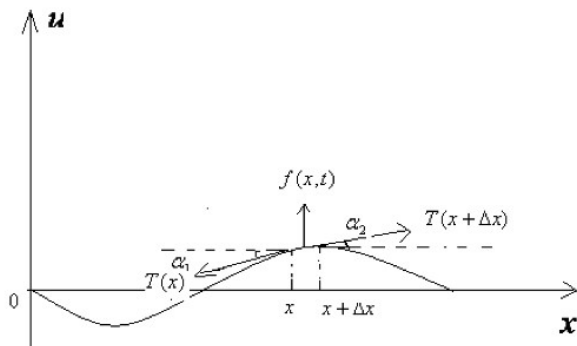


图 1.1.3

在  $x$  点处作用于弦段  $(x, x + \Delta x)$  的张力在  $x$ 、 $u$  两个方向上的分力分别为  $-T(x)\cos\alpha_1$ 、 $-T(x)\sin\alpha_1$ ；在  $x + \Delta x$  点处作用于弦段  $(x, x + \Delta x)$  的张力在  $x$ 、 $u$  两个方向上的分力分别为  $-T(x + \Delta x)\cos\alpha_2$ 、 $-T(x + \Delta x)\sin\alpha_2$ ；由于弦只在  $x$  轴的垂直方向作横振动，所以水平方向的合力为零。

$$T(x + \Delta x)\cos\alpha_2 - T(x)\cos\alpha_1 = 0 \quad (1.1.12)$$

由于弦只在平衡位置作微小振动， $\alpha_1$  和  $\alpha_2$  近似为 0，从而  $\cos\alpha_1 \approx 1$ ， $\cos\alpha_2 \approx 1$ ；于是 (1.1.5) 变为

$$T(x + \Delta x) - T(x) = 0 \quad (1.1.13)$$

故  $T(x + \Delta x) = T(x) = T$  为常数。

利用 “ $\sin t \sim \tan t (t \rightarrow 0)$ ”，有

$$\sin\alpha_1 \approx \tan\alpha_1 = \frac{\partial u(x, t)}{\partial x}$$

$$\sin\alpha_2 \approx \tan\alpha_2 = \frac{\partial u(x + \Delta x, t)}{\partial x}$$

所以张力在  $x$  轴的垂直方向的合力为

$$\begin{aligned} & T\sin\alpha_2 - T\sin\alpha_1 + \int_x^{x+\Delta x} f(x, t)dx \\ &= T\left(\frac{\partial u(x + \Delta x, t)}{\partial x} - \frac{\partial u(x, t)}{\partial x}\right) + \int_x^{x+\Delta x} f(x, t)dx \end{aligned}$$

从而在时间段  $(t, t + \Delta t)$  中该合力产生的冲量（对应外力和体力所作的功）为

$$\int_t^{t+\Delta t} \left[ T\left(\frac{\partial u(x + \Delta x, t)}{\partial x} - \frac{\partial u(x, t)}{\partial x}\right) + \int_x^{x+\Delta x} f(x, t)dx \right] dt$$

令一方面，在时刻  $t$  和时刻  $t + \Delta t$ ，弦段  $(x, x + \Delta x)$  的动量分别为

$\int_x^{x+\Delta x} \rho \frac{\partial u(x,t)}{\partial t} dx, \int_x^{x+\Delta x} \rho \frac{\partial u(x,t+\Delta t)}{\partial t} dx$  所以, 从时刻  $t$  到时刻  $t+\Delta t$ , 弦段  $(x, x+\Delta x)$  的动量增加量 (对应动能) 为

$$\int_x^{x+\Delta x} \rho \left[ \frac{\partial u(x,t+\Delta t)}{\partial t} - \frac{\partial u(x,t)}{\partial t} \right] dx$$

由于在时间段  $(t, t+\Delta t)$  中的冲量应等于动量的增加量 (对应物理学基本原理: 能量守恒定律), 故

$$\begin{aligned} & \int_x^{x+\Delta x} \left[ T \left( \frac{\partial u(x+\Delta x,t)}{\partial x} - \frac{\partial u(x,t)}{\partial x} \right) + \int_x^{x+\Delta x} f(x,t) dx \right] dt \\ &= \int_x^{x+\Delta x} \rho \left[ \frac{\partial u(x,t+\Delta t)}{\partial t} - \frac{\partial u(x,t)}{\partial t} \right] dx \end{aligned}$$

从而有

$$\int_t^{t+\Delta t} \int_x^{x+\Delta x} \left[ T \frac{\partial^2 u(x,t)}{\partial x^2} - \rho \frac{\partial^2 u(x,t)}{\partial t^2} + f(x,t) \right] dt dx = 0 \quad (1.1.14)$$

由  $\Delta x, \Delta t$  的任意性知, (0.3) 中的被积函数必为零, 从而得到

$$T \frac{\partial^2 u(x,t)}{\partial x^2} - \rho \frac{\partial^2 u(x,t)}{\partial t^2} + f(x,t) = 0 \quad (1.1.15)$$

记  $\frac{T}{\rho} = a^2$ ,  $\frac{f(x,t)}{\rho} = \tilde{f}(x,t)$ , 则

$$\frac{\partial^2 u}{\partial t^2} - a^2 \frac{\partial^2 u}{\partial x^2} = \tilde{f}(x,t) \quad (1.1.16)$$

#### 1.1.4 弦的平衡问题

以弦振动方程为基础, 我们可以研究两端固定弦的平衡问题。从数学上来说, 弦平衡状态  $u(x)$  为弦振动方程的稳态解。

设方程 (1.1.16) 有稳态解  $u(x)$ , 即当  $t \rightarrow \infty$ , 有

$$u(x,t) \rightarrow u(x)$$

即有

$$\frac{\partial u(x,t)}{\partial t} \rightarrow 0, \quad t \rightarrow \infty$$

这样, 若令  $t \rightarrow \infty$ , 则由波动方程 (1.1.16), 有如下弦平衡方程

$$-a^2 \frac{d^2 u(x)}{dx^2} = \tilde{f}(x)$$

其中

$$\tilde{f}(x) = \lim_{t \rightarrow \infty} \tilde{f}(x,t)$$

上式等价于

$$-T \frac{d^2 u(x)}{dx^2} = f(x) \quad (1.1.17)$$

这里,  $f(x) = \rho \tilde{f}(x)$  其中  $\tilde{f}(x)$  是在  $x$  处的单位质量所受的力。

若设弦的一端位于坐标系的原点， $x$  轴的正项指向弦的另一端。显然，弦平衡问题满足如下的边值条件：

$$\begin{cases} u(0) = 0 \\ u(l) = 0 \end{cases} \quad (1.1.18)$$

即弦平衡问题的位置函数  $u(x)$  由(1.1.17)和(1.1.18)确定，该模型问题也为两点边值问题。

### 热传导问题

考虑在物体  $G$  中任取一封闭曲面  $S$  (如图 1.1.4)，以函数  $u(x, y, z, t)$  表示物体  $G$  在位置  $(x, y, z)$  及时刻  $t$  的温度。求  $u(x, y, z, t)$  满足的微分方程系统。

解：依据 Fourier 热传导定律。在无穷小时段  $dt$  内流过物体的一个无穷小面积  $dS$  的热量  $dQ$  与时间  $dt$ ，曲面面积  $dS$ ，以及物体温度  $u$  沿曲面  $dS$  的法线方向的方向导数  $\frac{\partial u}{\partial n}$  三者成正比，即

$$dQ = -k \frac{\partial u}{\partial n} dS dt$$

其中  $k = k(x, y, z)$  是物体在点  $(x, y, z)$  处的热传导系数，取正值。负号的出现是由于热量的流向和温度梯度的方向 ( $\text{gradu}$ ) 相反。

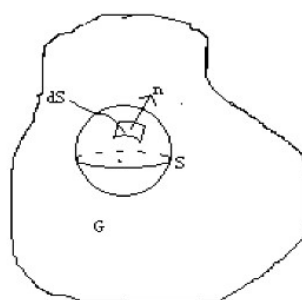


图 1.1.4

对于物体  $G$  内任取一闭曲面  $S$ ，它所包括的空间区域为  $V$ ，则从时刻  $t_1$  到时刻  $t_2$  经曲面流出的热量为

$$Q_1 = - \int_{t_1}^{t_2} \left[ \iint_S k \frac{\partial u}{\partial n} dS \right] dt$$

---

设物体的比热为  $c$ ，密度为  $\rho$ ，则无穷小体积  $dV = dx dy dz$  的温度由  $u(x, y, z, t_1)$  升高到  $u(x, y, z, t_2)$  所需的热量为

$$dQ = c\rho[u(x, y, z, t_2) - u(x, y, z, t_1)]dV$$

因此，使  $V$  内各点温度由  $u(x, y, z, t_1)$  变化为  $u(x, y, z, t_2)$  所需热量为

$$Q_2 = \iiint_V c\rho[u(x, y, z, t_2) - u(x, y, z, t_1)]dV$$

根据热量守恒定律，有

$$Q_2 = -Q_1$$

即

$$\iiint_V c\rho[u(x,y,z,t_2)-u(x,y,z,t_1)]dV = \int_{t_1}^{t_2} \iint_S k \frac{\partial u}{\partial n} dS dt$$

假设函数  $u(x,y,z,t)$  关于  $x,y,z$  具有二阶连续偏导数, 关于  $t$  具有一阶连续偏导数, 则由 Gauss 公式可得

$$\int_{t_1}^{t_2} \iiint_V [c\rho \frac{\partial u}{\partial t} - \frac{\partial}{\partial x}(k \frac{\partial u}{\partial x}) - \frac{\partial}{\partial y}(k \frac{\partial u}{\partial y}) - \frac{\partial}{\partial z}(k \frac{\partial u}{\partial z})] dV dt = 0$$

由于时间间隔  $[t_1, t_2]$  及区域  $V$  是任意取的, 且被积函数是连续的, 因此在任意时刻在  $G$  内任意一点都有

$$c\rho \frac{\partial u}{\partial t} = \frac{\partial}{\partial x}(k \frac{\partial u}{\partial x}) + \frac{\partial}{\partial y}(k \frac{\partial u}{\partial y}) + \frac{\partial}{\partial z}(k \frac{\partial u}{\partial z}) \quad (1.1.19)$$

方程 (1.1.19) 称为非均匀的各向同性体的热传导方程。如果物体是均匀的, 此时  $k, c$  及  $\rho$  均为常数, 令  $a^2 = \frac{k}{c\rho}$ , 则方程 (1.1.19) 化为

$$\frac{\partial u}{\partial t} = a^2 (\frac{\partial^2 u}{\partial x^2} + \frac{\partial^2 u}{\partial y^2} + \frac{\partial^2 u}{\partial z^2}) \quad (1.1.20)$$

若考虑物体内有热源, 其热源密度为  $F(x,y,z,t)$ , 则有热源的热传导方程为

$$\frac{\partial u}{\partial t} = a^2 (\frac{\partial^2 u}{\partial x^2} + \frac{\partial^2 u}{\partial y^2} + \frac{\partial^2 u}{\partial z^2}) + f(x,y,z,t) \quad (1.1.21)$$

其中  $f = \frac{F}{c\rho}$ .

假设所考虑的物体是一根细杆 (或一块薄板) 或者温度  $u$  只与  $x, t$  (或  $x, y, t$ ) 有关, 则 (1.1.20) 就变成一维热传导方程

$$\frac{\partial u}{\partial t} = a^2 \frac{\partial^2 u}{\partial x^2} \quad (1.1.22)$$

和二维热传导方程

$$\frac{\partial u}{\partial t} = a^2 (\frac{\partial^2 u}{\partial x^2} + \frac{\partial^2 u}{\partial y^2}) \quad (1.1.23)$$